

СООБЩЕНИЯ
ОБЪЕДИНЕННОГО
ИНСТИТУТА
ЯДЕРНЫХ
ИССЛЕДОВАНИЙ
ДУБНА



6346.48

A-646

1/Х4-7

1 - 9176

Н.С.Ангелов, В.Г.Гришин, Э.И.Мальцев, Ю.П.Петухов,
А.И.Шкловская

4664/2-75

ОПИСАНИЕ

ОДНОЧАСТИЧНЫХ ИНКЛЮЗИВНЫХ СПЕКТРОВ
 $\pi^- p$ ВЗАИМОДЕЙСТВИЙ ПРИ $p = 40$ ГЭВ/С
С ПОМОЩЬЮ ПРОСТЫХ
МУЛЬТИПЕРИФЕРИЧЕСКИХ МОДЕЛЕЙ

1975

1

1 - 9176

Н.С.Ангелов, В.Г.Гришин, Э.И.Мальцев, Ю.П.Петухов,
А.И.Шкловская

ОПИСАНИЕ

ОДНОЧАСТИЧНЫХ ИНКЛЮЗИВНЫХ СПЕКТРОВ
 $\pi^- p$ ВЗАИМОДЕЙСТВИЙ ПРИ $p = 40$ ГЭВ/С
С ПОМОЩЬЮ ПРОСТЫХ
МУЛЬТИПЕРИФЕРИЧЕСКИХ МОДЕЛЕЙ



Введение

Модельное описание инклюзивных процессов при высоких энергиях представляет интерес для выяснения динамики сильных взаимодействий. Попытки такого описания с помощью мультипериферической модели с учетом рождения кластеров были сделаны, например, в работах^{1,2}. В этой модели последовательно учитываются данные по полным сечениям и резонансам, а затем вычисляются характеристики множественного рождения частиц, которые удовлетворительно описывают имеющиеся экспериментальные данные по π - p -взаимодействиям при $p = 40 \text{ ГэВ/с}$ и $p p$ -взаимодействиям при $p = 69$ и 200 ГэВ/с .

Однако представляется также полезным описать инклюзивные процессы с помощью простых мультипериферических моделей для выяснения вклада различных механизмов в процессы генерации частиц. Такая попытка предпринята в настоящей работе. В первом параграфе приводятся используемые модели, во втором - описывается методическая часть работы, в третьем - рассматриваются полученные результаты.

§1. Используемые модели

В настоящей работе сделана попытка описания данных по π - p взаимодействиям при $p = 40 \text{ ГэВ/с}$ с помощью суперпозиции нескольких простых моделей с малым числом параметров.

В качестве таких моделей выбраны следующие:

1/ статистическая модель с $|M|^2 = 1$;

2/ простая мультипериферическая модель с матричным элементом вида

$$|M|^2 = \prod_{i=1}^{N-1} e^{k_i t_i}, \quad /1/$$

где $t_i = (p_1 - \sum_{k=1}^i p_k)^2$, p_1 - четырехимпульс первичного π^- -

мезона, p_k - четырехимпульс k -ой вторичной частицы ($t_i < 0$), N - полное число вторичных частиц, коэффициенты k_i специально не подбирались и были взяты одинаковыми и равными $T/\Gamma_{\text{ЭВ}}/c^2$ для всех вторичных частиц;

3/ мультипериферическая модель с учетом лидирующих частиц с матричным элементом вида

$$|M|^2 = \exp(A(t_1 + t_N) - \sum_{i=2}^{N-1} \frac{p_{\perp i}^2}{R}), \quad /2/$$

где t_1 и t_N - передачи импульса лидирующему π^- -мезону и нуклону соответственно, $p_{\perp i}$ - поперечный импульс i -той вторичной частицы, N - полное число вторичных частиц, коэффициенты A и R были взяты равными:

$$A = 1,5 / \Gamma_{\text{ЭВ}}/c^2, \quad R = 4 / \Gamma_{\text{ЭВ}}/c^2.$$

Преимуществом выбранных моделей является, на наш взгляд, их простота и малое число параметров. Сравнение предсказаний моделей с экспериментом проводилось по некоторым характерным одночастичным инклузивным распределениям.

§2. Методика расчетов

В качестве теоретических распределений для всех трех моделей использовались распределения, полученные в результате гистограммирования соответствующих величин для инклузивной совокупности событий.

Инклузивные совокупности событий генерировались и записывались на магнитную ленту с помощью программ INFORS и INMULT^{3/}.

При моделировании использовалось экспериментальное распределение по множественности вторичных заряженных частиц, одно и то же для всех моделей.

Приближающий экспериментальные данные^{4/} функционал брался в следующем виде:

$$M = a_1 M_1 + a_2 M_2 + a_3 M_3, \quad /3/$$

где M_1 , M_2 и M_3 - предсказания моделей 1,2 и 3 для соответствующего распределения /как модельные, так и экспериментальные распределения предварительно нормировались на 1/, a_1, a_2 и $a_3 (= 1 - a_1 - a_2)$ - вклады от соответствующих моделей.

Отыскание коэффициентов a_i , наилучшим образом описывающих экспериментальные данные, проводилось с помощью программы FUMILI^{5/}.

§3. Результаты расчетов

В качестве наиболее характерных одночастичных инклузивных распределений были выбраны распределения по импульсу в системе центра масс (p^*), косинусу угла вылета в системе центра масс ($\cos\theta^*$), поперечному импульсу (p_{\perp}), масштабной переменной X и быстроте (Y^*).

Определение коэффициентов a_1 , a_2 и a_3 в смеси, наилучшим образом описывающей экспериментальные данные, проводилось по десяти наборам инклузивных распределений. Для каждого набора фитирование проводилось одновременно по всем распределениям этого набора.

Были использованы следующие наборы:

1/ $p^*, \cos\theta^*, p_{\perp}, X, Y^*$ для π^+ -мезонов;

2/ $p^*, \cos\theta^*, p_{\perp}, X, Y^*$ для π^- -мезонов;

3/ Y^* для π^+ -мезонов;

4/ Y^* для π^- -мезонов;

5/ $p^*, \cos\theta^*$ для π^+ и π^- -мезонов одновременно;

6/ $p^*, \cos\theta^*$ для π^+ -мезонов;

7/ $p^*, \cos\theta^*$ для π^- -мезонов;

8/ $p^*/ \leq 3 \text{ ГэВ}/c$, $\cos\theta^*(\geq 0)$ для π^+ -мезонов и

$p^*/ \leq 3 \text{ ГэВ}/c$, $\cos\theta^*(-0.96)$ для π^- -мезонов;

$9/p^*/\leq 3 \text{ ГэВ/с}, \cos\theta^*(\geq 0) \text{ для } \pi^+ \text{-мезонов};$
 $10/p^*/\leq 3 \text{ ГэВ/с}, \cos\theta^*(\leq 0.96) \text{ для } \pi^- \text{-мезонов.}$

Выбор ограничений в последних трех наборах связан с большими ошибками измерения для экспериментальных событий в отбрасываемых областях и со значительной примесью неидентифицированных протонов в спектре по $\cos\theta^*$ для π^+ -мезонов, вылетающих в заднюю полусферу.

Вследствие того, что инклюзивные спектры, даваемые моделями, имеют статистический характер/ а это не учитывается при фитировании/, ошибки экспериментальных распределений были искусственно ограничены снизу. Учитывая, что экспериментальные относительные статистические ошибки колеблются в пределах от 2 до 5%, для всех десяти наборов фитирование проводилось на трех уровнях ограничения относительных ошибок: 5, 10 и 15%.

Результаты фитирования приведены в табл. 1-3, а на графиках 1-4 показаны некоторые экспериментальные и соответствующие им модельные распределения.

Фитирование по наборам 2,3 и 7 привело к появлению отрицательных вкладов от моделей 1 и 2, и эти наборы были исключены из рассмотрения.

Как видно из приведенных результатов, в рамках наших моделей удовлетворительно описываются инклюзивные спектры π^+ -мезонов. Наилучшее согласие получено для набора №9 при уровне ограничения относительных ошибок 10%; при этом вклад от статистической модели равен 30%, от простой мультипериферической модели - 25% и от модели с лидирующими частицами - 45% /значение χ^2 на одну точку равно 1,5/.

Для π^- -мезонов согласие значительно хуже. Это связано, очевидно, со слишком большими значениями коэффициентов k_i и A в формулах /1/ и /2/, что приводит к преобладанию событий с очень малыми переданными импульсами для всех π^- -мезонов в модели 2 и для лидирующего π^- -мезона в модели 3.

В заключение мы хотим выразить признательность коллективу Сотрудничества по обработке снимков с двухметровой пропановой камеры за предоставление экспериментальных данных и полезные обсуждения.

Таблица 1

Результаты фитирования для наборов, содержащих инклюзивные распределения только π^- -мезонов

№ наборов	Уровень ограничения относительных ошибок (%)	Вклады от моделей (%)			χ^2 на одну точку
		1	2	3	
1	5	20	8 ± 1	72 ± 1	8.8
	10	20	5 ± 1	75 ± 1	5.0
	15	18	4 ± 2	78 ± 2	3.5
6	5	28	24 ± 2	48 ± 3	7.0
	10	31	34 ± 3	35 ± 4	3.4
	15	35	37 ± 4	28 ± 6	2.2
9	5	28	19 ± 2	53 ± 3	3.0
	10	30	25 ± 3	45 ± 5	1.5
	15	32	27 ± 5	41 ± 7	0.8

Таблица 2

Результаты фитирования для наборов, содержащих
инклюзивные распределения только π^+ -мезонов

$\#$ набо- ров	Уровень ограничения относительных ошибок	Вклады от моделей (%)			Значения χ^2 на одну точку
		1	2	3	
4	5	43	2 ± 1	55 ± 2	13.7
	10	44	4 ± 2	52 ± 3	5.8
	15	43	5 ± 2	52 ± 5	3.5
10	5	10	19 ± 2	71 ± 2	II.0
	10	10	5 ± 2	85 ± 4	7.2
	15	11	2 ± 2	87 ± 6	3.6

Таблица 3

Результаты фитирования для наборов, содержащих инклюзивные распределения как π^+ , так и π^- -мезонов

$\#$ набо- ров	Уровень ограничения относительных ошибок	Вклады от моделей (%)			Значения χ^2 на одну точку
		1	2	3	
5	5	24	12 ± 1	64 ± 2	12.4
	10	28	18 ± 2	54 ± 3	7.5
	15	36	22 ± 3	42 ± 4	4.7
8	5	17	17 ± 1	66 ± 2	8.5
	10	18	12 ± 2	70 ± 3	5.3
	15	20	12 ± 3	68 ± 5	2.5

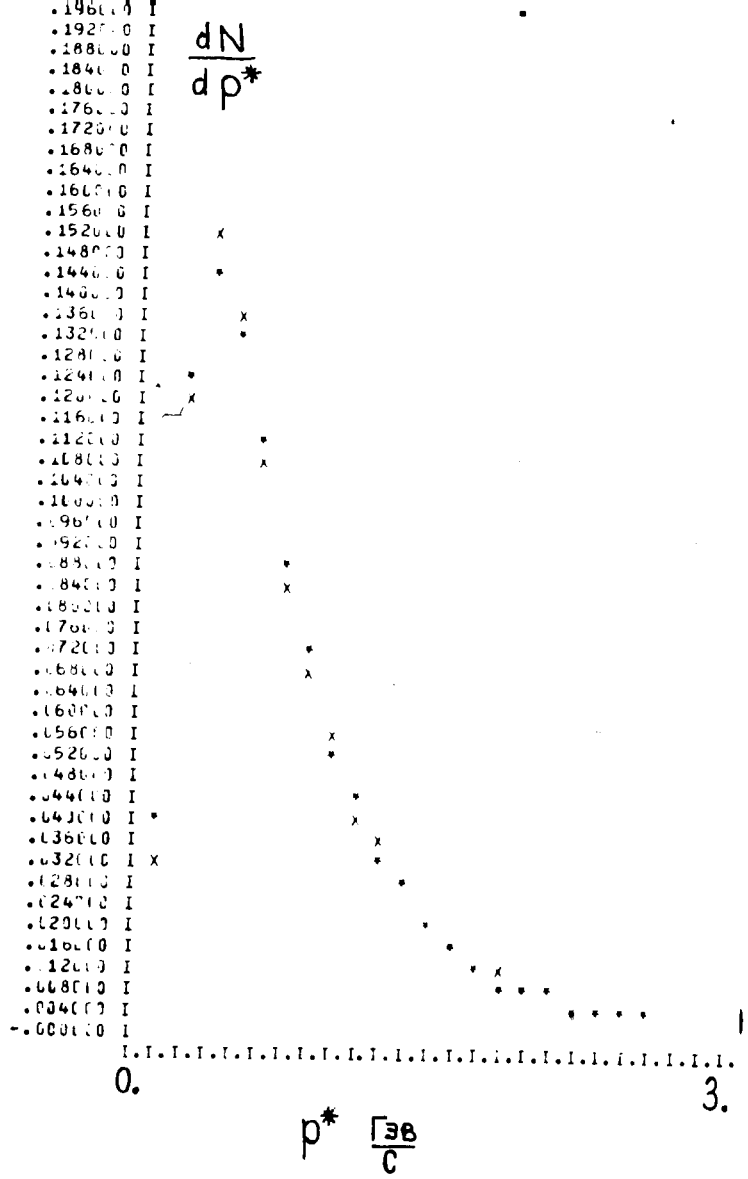


Рис. 1. Распределение dN/dp^ /нормировано на 1/ для π^+ -мезонов; X - эксперимент, * - модель /получено по результатам фитирования набора №9/.*

10

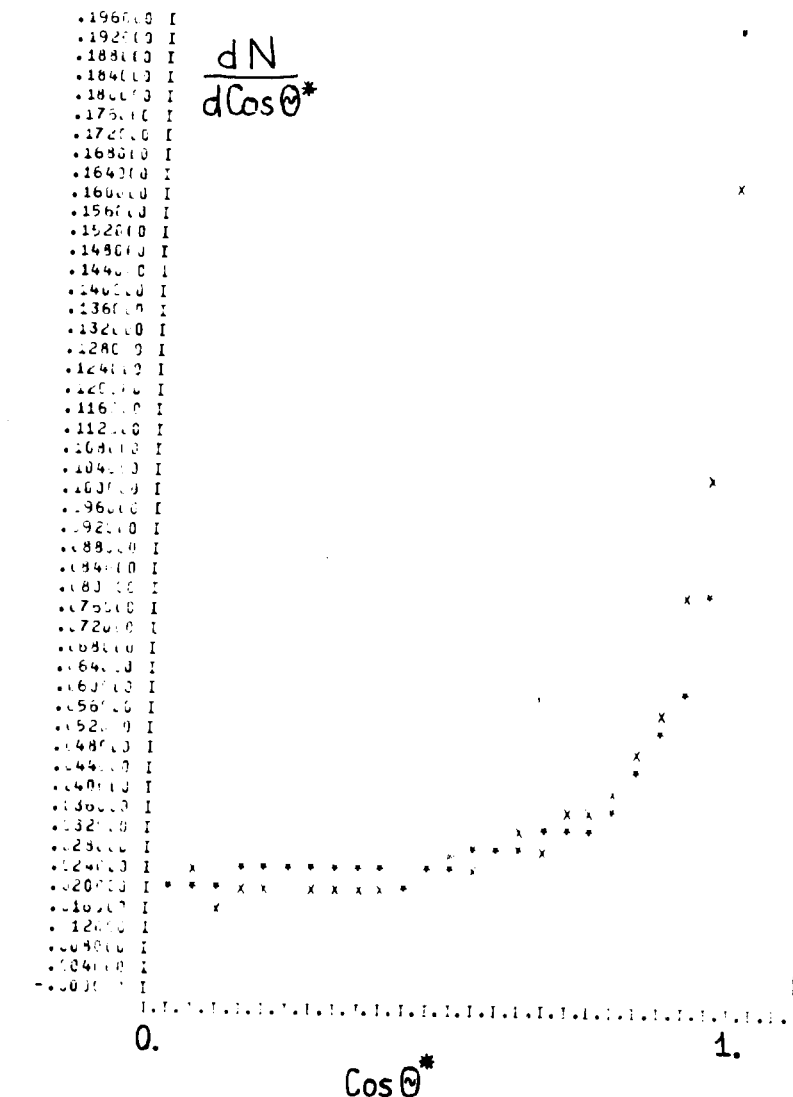


Рис. 2. Распределение $\frac{dN}{d\cos\theta^*}$ /нормировано на 1/ для π^+ -мезонов; X - эксперимент, * - модель /получено по результатам фитирования набора №9/.

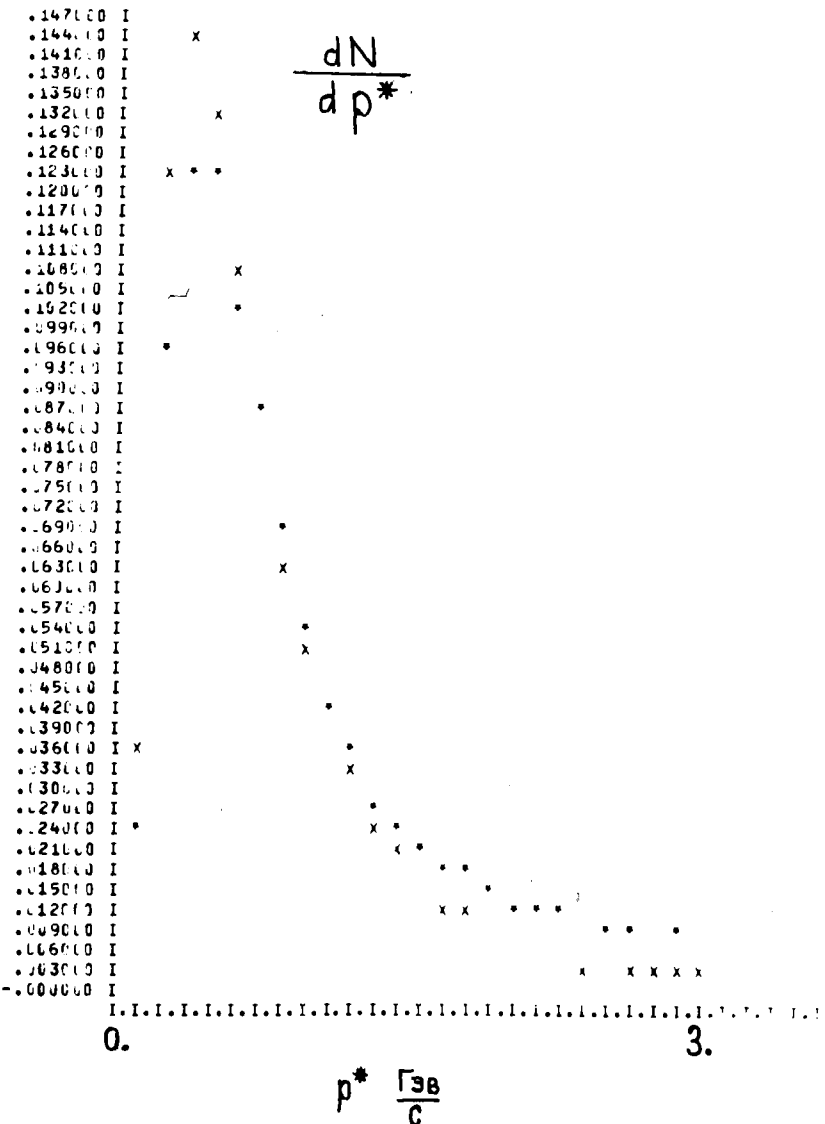


Рис. 3. Распределение dN/dp^* /нормировано на 1/ для π^- -мезонов; X - эксперимент, * - модель /получено по результатам фитирования набора №10/.

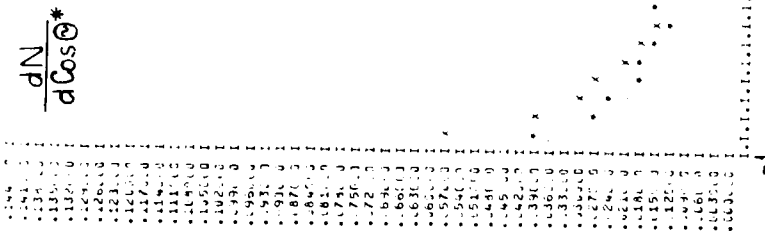


Рис. 4. Распределение $\frac{dN}{d\cos\theta^*}$ /нормировано на 1/ для π^- -мезонов; X - эксперимент, * - модель /получено по результатам фитирования набора №10/.

Литература

1. Е.И.Волков, Т.И.Канарек. 1-8035, Дубна, 1974.
2. Е.И.Волков, И.М.Дремин и др. ЯФ, 17, 407, 1973
18, 437, 1973.
3. С.Н.Комарова, Г.И.Копылов и др. ОИЯИ, 1-8501,
Дубна, 1974.
4. А.У.Абдурахимов и др. /Сотрудничество: Алма-Ата -
Будапешт - Бухарест - Варшава - Дубна - Краков -
Москва - Серпухов - София - Ташкент - Тбилиси -
Улан-Батор - Ханой/, ЯФ, 18, 545, 1973.
5. Е.Н.Силин. Депонированная публикация ОИЯИ,
Б1-11-5144, Дубна, 1970.

*Рукопись поступила в издательский отдел
19 сентября 1975 года.*